

УДК 621.83. 033

## ВЛИЯНИЕ ПАРАМЕТРОВ ОСЦИЛЛЯЦИИ ЗАПОРНО-РЕГУЛИРУЮЩЕГО ЭЛЕМЕНТА ГИДРОРАСПРЕДЕЛИТЕЛЯ НА ВЕЛИЧИНУ ГИДРОДИНАМИЧЕСКОЙ СИЛЫ

Лурье З.Я., д.т.н.,  
Андренко П.Н., д.т.н.

*Национальный технический университет "Харьковский политехнический институт"*

Тел. (057) 707-61-28

**Аннотация** – работа посвящена исследованию влияния параметров осцилляции и характера переходного процесса запорно-регулирующего элемента гидрораспределителя на величину гидродинамической силы.

**Ключевые слова** – осцилляция, переходной процесс, запорно-регулирующий элемент, гидродинамическая сила.

*Введение.* При расчете и проектировании гидрораспределителей, у которых, как правило, запорно-регулирующие элементы (ЗРЭ) выполнены в виде прецизионной пары плунжер-гильза, с целью создания усилий необходимых для их перемещения, важно правильно определить силы, действующие на них, в том числе и гидродинамическую. Гидродинамические силы могут быть причиной неустойчивости гидропривода (ГП), снижения точности его регулирования и поэтому требуют правильного учета и определения [1].

*Анализ методов расчета гидродинамической силы. Постановка задачи.* Трудности, возникающие при расчете гидродинамической силы, объясняются сложностью течения рабочей жидкости (РЖ) в проточной камере гидроаппарата, которые, как правило, имеют сложную форму, а также невозможностью достаточно точно рассчитать закон распределения давления на торцах пояска плунжера. Поэтому, значительное количество работ посвящено экспериментальному определению гидродинамической силы. Так, в статье [2] приведены экспериментальные графические зависимости осевой гидродинамической силы от перемещения ЗРЭ гидрораспределителя, который работает при постоянном расходе. В статье [3] делается попытка определения осевой гидродинамической

силы на основе знания распределения давления на торцах пояска плунжера полученного экспериментальным путем. Но, в этих работах и ряде других не приведены аналитические зависимости, которые бы позволяли включать их в математические модели гидроаппаратов и использовать в практических расчетах. Не учтена форма дросселирующей щели ЗРЭ и его осцилляция.

Установлению влияния конструктивных параметров проточной камеры гидрораспределителя на осевую гидродинамическую силу посвященная статья [1]. В ней исследуется влияние диаметра шейки плунжера на гидродинамическую силу. Приведена эмпирическая зависимость для ее определения от диаметра шейки плунжера. Установлено, что уменьшение диаметра шейки плунжера приводит к увеличению гидродинамической силы и зависит от направления движения РЖ. Однако, приведенная эмпирическая зависимость, не учитывает осцилляцию ЗРЭ, форму дросселирующей щели, и не может быть использованная в математических моделях гидроаппаратов с осцилляцией. Исследование влияния формы дросселирующих кромок ЗРЭ на характеристики гидроаппаратов нашло освещение в ряде работ, например [4].

С использованием струйной теории в статье [5] полученная зависимость для определения осевой гидродинамической силы для гидрораспределителя с острой дросселирующей кромкой

$$F_{\text{зо}}(t) = 2 \mu_{\text{за}} \delta \Delta p_{\text{щ}}(t) \sqrt{\left(x_{\text{зре}}/\delta\right)^2 + 1} \left( \cos\theta_n - \mu_{\text{за}} \theta_n \sqrt{\left(x_{\text{зре}}/\delta\right)^2 + 1} \right) l_{\text{ок}}, \quad (1)$$

где  $\mu_{\text{за}}$  – коэффициент расхода;  $\delta$  – радиальный зазор;  $t$  – время;  $\Delta p_{\text{щ}}(t)$  – перепад давления на дросселирующей щели;  $x_{\text{зре}}$  – перемещение ЗРЭ;  $\theta_n$  – угол наклона вектора скорости потока РЖ к оси ЗРЭ;  $l_{\text{ок}}$  – длина рабочего окна гидрораспределителя.

Приведенные там же результаты экспериментальных исследований осевой гидродинамической силы, и рассчитанной согласно зависимости (1), показали их расхождение до 20 %. Теоретически установлено, что угол  $\theta_n$  изменяется в зависимости от перемещения плунжера и от радиального зазора. Однако для расчетов этот угол принимают постоянным и равным  $69^\circ$ .

В большинстве случаев, расчетные зависимости осевой гидродинамической силы, которая действует на ЗРЭ гидрораспределителя, получены из рассмотрения изменения количества движения жидкости протекающей через контрольный объем. В работе [6] приведены уравнения осевой гидродинамической силы, действующей на плунжер четырехшарового гидрораспределителя при управлении ненагруженным гидравлическим цилиндром и в отличие от формулы (1), учитывают характеристики РЖ

$$F_{\text{гд}}(t) = 2 c_{\text{гд}} x_{\text{зрэ}}(t) + k_{\text{ин}} \frac{dx_{\text{зрэ}}}{dt}, \quad (2)$$

где  $c_{\text{гд}} = \mu_{\text{га}} b_{\text{ок}} (p_{\text{п}} - p_{\text{сл}}) \cos \theta_{\text{н}}$ ;  $k_{\text{ин}} = \rho (l_3 - l_2) \mu_{\text{га}} b_{\text{ок}} \sqrt{(p_{\text{п}} - p_{\text{сл}})/\rho}$ ;  $b_{\text{ок}}$  – суммарная ширина окон гидрораспределителя;  $p_{\text{п}}$  и  $p_{\text{сл}}$  – соответственно давление питания и слива;  $\rho$  – плотность РЖ;  $l_3, l_2$  – соответственно, расстояния между осью канала питания и выточкой в гильзе гидрораспределителя, осью канала слива и выточкой в гильзе гидрораспределителя.

Анализ уравнения (2), проведенный в работе [6], показывает, что первый член уравнения (2) действует аналогично пружине, которая стремится возвратить плунжер гидрораспределителя в нейтральное положение, а второй член учитывает инерционное действие неустановившегося потока РЖ на плунжер и представляет собой силу жидкостного трения. Причем, при  $l_3 - l_2 < 0$  “сила трения”, которая определяется вторым членом уравнения (2), будет иметь знак противоположный знаку силы “гидродинамической пружины”, вследствие чего без учета других демпфирующих факторов колебания плунжера будут расходящимся. В этом заключается эффект “отрицательного” демпфирования плунжера, вызванный неустановившимся движением РЖ в каналах гидрораспределителя. Для устранения этого явления необходимо, чтобы  $l_3 \geq l_2$ . Однако, зависимость (2) не учитывает параметров осцилляции ЗРЭ, величину угла  $\theta_{\text{н}}$  в зависимости от формы дросселирующей щели, переменность коэффициента расхода и параметров РЖ. Таким образом, зависимость (2) для расчета гидродинамической силы на ЗРЭ гидрораспределителя с осцилляцией требует уточнения.

Для повышения точности определения характеристик гидроаппаратов в работе [7] предлагается для расчета коэффициента расхода использовать зависимость, которая, кроме геометрических размеров дросселирующих щелей, учитывает режим течения жидкости

$$\mu_{\text{н га}}(x_{\text{зрэ}}(t)) = \mu_{\text{с га}} \sqrt{\text{Re}(t)} / \sqrt{\text{Re}_k + \text{Re}(t)}, \quad (3)$$

где  $\mu_{\text{н га}}(x_{\text{зрэ}}(t))$  и  $\mu_{\text{с га}}$  – соответственно коэффициенты расхода нестационарный и в статическом режиме;  $\text{Re}(t)$  – число Рейнольдса;  $\text{Re}_k$  – коэффициент коррекции.

При расчете гидродинамической силы, величину угла отклонения потока РЖ, которая протекает через дросселирующую щель –  $\theta_{\text{н}}$ , по результатам проведенных теоретических и экспериментальных исследований, принимают постоянной и равной  $69^{\circ}$  [3, 5 - 7]. Отметим, что брать угол  $\theta_{\text{н}}$  в

расчетах постоянным можно, однако, в действительности он изменяется в определенных границах. В работе [5] приведены данные, относительно изменения этого угла, но только для очень малых перемещений плунжера гидрораспределителя с острой дросселирующей кромкой, соизмеримых с радиальным зазором. Изменение угла  $\theta_n$  от  $x_{3p3}/\delta$ , котораяе, в пределах изменения  $x_{3p3}/\delta$  от 0 до 30, аппроксимировано зависимостью [5]

$$\theta_n = 25,191 + 7,297(x_{3p3}/\delta) - 0,401(x_{3p3}/\delta)^2 + 6,84 \times 10^{-3}(x_{3p3}/\delta)^3. \quad (4)$$

При дальнейшем увеличении  $x_{3p3}/\delta$ , в расчетах принимают  $\theta_n \approx 69^\circ$ . Для других типов дросселирующих щелей таких зависимостей нет. Отметим, что измерение осевой гидродинамической силы при осцилляции ЗРЭ затруднено, а теоретические работы в этом направлении отсутствуют [8]. Существующие математические зависимости для расчета осевой гидродинамической силы не учитывают параметров осцилляции ЗРЭ, значение угла  $\theta_n$ , зависящего от формы дросселирующей щели, изменяющиеся во времени параметры РЖ, характер переходного процесса ЗРЭ, что может привести к значительным погрешностям. Таким образом, разработка метода расчета гидродинамической силы на осциллирующем ЗРЭ с учетом факторов, отмеченных выше, является актуальной научной задачей.

*Цель статьи.* Разработка метода расчета и исследование влияния параметров осцилляции и характера переходного процесса запорно-регулирующего элемента гидрораспределителя на величину гидродинамической силы.

*Учет параметров рабочей жидкости.* Точность моделирования рабочих процессов в ГП зависит от правильного определения параметров РЖ. Как правило, РЖ содержит растворенный и нерастворенный воздух, причем последний существенным образом влияет на ее свойства. Среднее значение газосодержания РЖ в ГП составляет: 0,1-5,0 % [9]. В процессе функционирования ГП в нем происходит подсасывание воздуха и изменение давления, которое приводит к увеличению газосодержания и изменения соотношения между растворенной и нерастворенной фазами. Для расчета модуля объемной упругости РЖ с учетом газосодержания и уровня давления в ГП нами используется приближенная зависимость [7]:

$$E_{cm}(t) = E_p \frac{p(t)^2 [V_p^* + V_r^*(p_0/p(t))]}{V_p^* p(t)^2 + V_r^* E_p p_0}, \quad (5)$$

где  $E_p$  – модуль объемной упругости РЖ;  $V_p^*$  – отношение объема РЖ  $V_p$  к суммарному объему  $V_\Sigma = V_p + V_r$ ;  $V_r^*$  – объем

нерасторонного воздуха, отнесенный к суммарному объему  $V_r^* = V_r / V_\Sigma$ ;  $p(t)$  и  $p_0$  – соответственно текущее и начальное давление в ГП.

Для расчета плотности РЖ с учетом газосодержания и изменения давления в ГП используется зависимость

$$\rho(t) = \rho_{pp,0} (1-z) \left\{ 1 + \left[ (p(t)-p_0)/E_{cm} \right] \right\} + \rho_{g,0} z [p(t)/p_0], \quad (6)$$

где  $\rho_{pp,0}$  и  $\rho_{g,0}$  – соответственно плотность РЖ и газа при давлении  $p_0$ ;  $z$  – доля объема жидкостно-газовой смеси (среды), занятой газом,  $z = V_r/(V_p + V_r)$ .

*Метод расчета гидродинамической силы.* Он базируется на учете параметров РЖ и угла  $\theta_n$ , параметров осцилляции ЗРЭ и характера его переходного процесса (рис. 1).

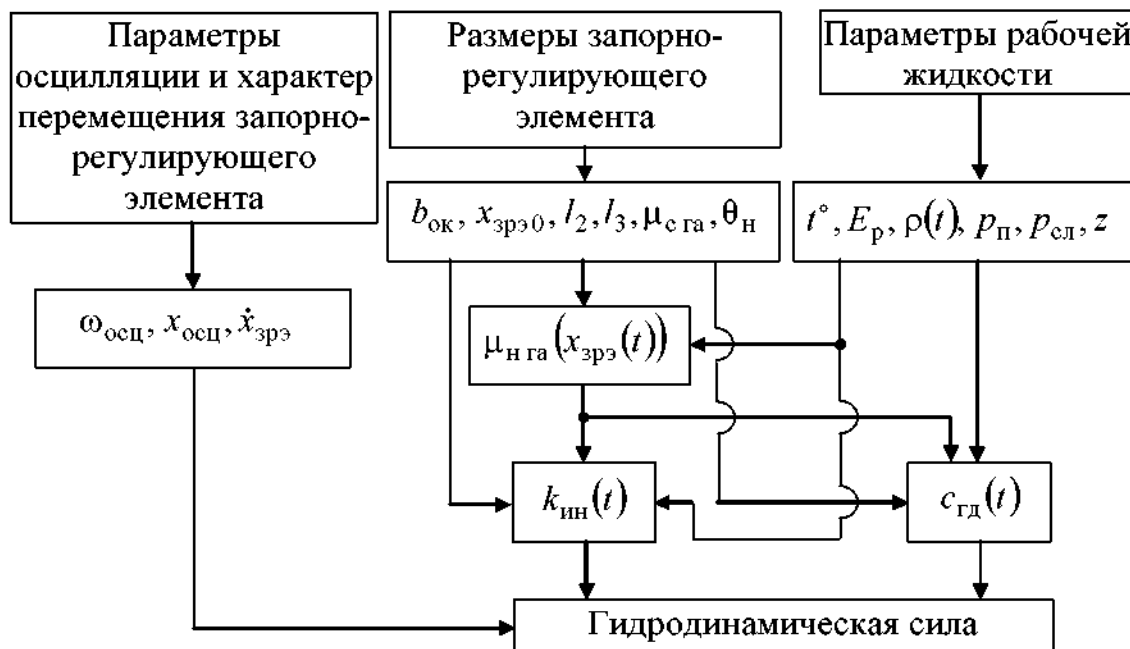


Рис. 1. Схема алгоритма расчета гидродинамической силы

Угол наклона вектора скорости потока РЖ к оси ЗРЭ гидрораспределителя определялся по распределению линий тока в его проточной полости, которые моделировались в пакете прикладных программ FEMLab, в соответствии с методикой разработанной в статье [10]. Использовалась зависимость (2), в которой

$$\begin{aligned} c_{\text{гд}}(t) &= \mu_{\text{н га}}(x_{\text{зрэ}}(t)) b_{\text{ок}}(\Delta p_{\text{щ}}(t)) \cos \theta_n; \\ k_{\text{ин}}(t) &= \rho(t) (\Delta l) \mu_{\text{н га}}(x_{\text{зрэ}}(t)) b_{\text{ок}} \sqrt{\Delta p_{\text{щ}}(t) / \rho(t)}, \end{aligned} \quad (7)$$

где  $\Delta p_{\text{щ}}(t)$  – перепад давления на дросселирующей щели гидрораспределителя.

Рассматривался четырехщелевой гидрораспределитель, для случая, когда он управляет не нагруженным гидравлическим цилиндром и перепад давления на его дросселирующих кромках составляет  $(p_{\text{п}} - p_{\text{сл}})/2$ , а ЗРЭ гидрораспределителя осуществляет осциллирующее гармоническое движение возле среднего положения, которое характеризуется открытием  $x_{\text{зрэ}0}$ . Мгновенное перемещение ЗРЭ

$$x_{\text{зрэ}}(t) = x_{\text{зрэ}0} + x_{\text{осц}} \cos \varphi, \quad (8)$$

где  $\varphi = \omega_{\text{осц}} t$ ;  $x_{\text{осц}}$  и  $\omega_{\text{осц}}$  – соответственно амплитуда и частота осцилляции ЗРЭ.

Подставляя (7) (8) в уравнение (2) и раскрывая скобки получаем

$$F_{\text{гд}0}(t) = 2 c_{\text{гд}0} x_{\text{зрэ}0} + 2 c_{\text{гд}0} x_{\text{осц}} \cos(\omega_{\text{осц}} t) - k_{\text{ин}0} x_{\text{осц}} \omega_{\text{осц}} \sin(\omega_{\text{осц}} t). \quad (9)$$

Зависимость (9) позволила уточнить физическую модель гидродинамической силы на осциллирующем ЗРЭ гидрораспределителя. Она обусловлена действием на ЗРЭ трех составляющих: силой, действие которой аналогична действию пружины, обусловленной смещением ЗРЭ, от своего нейтрального положения, которая приводит к снижению давления РЖ в окрестностях входа в щель при ее движении в проточной части гидрораспределителя, и которая стремится возвратить ЗРЭ в нейтральное положение; переменной во времени силы, действие которой аналогично действию пружины, обусловленной осцилляцией ЗРЭ, которая приводит к пульсации давления РЖ в окрестностях входа в щель, и которая старается препятствовать его осцилляции; переменной во времени силы, действие которой эквивалентно силе жидкостного трения, которая учитывает инерционное действие неустановившегося потока РЖ, обусловленного осцилляцией ЗРЭ, что приводит к пульсации давления РЖ на выходе гидрораспределителя. Заметим, что третья составляющая осевой гидродинамической силы, которая учитывает инерционное действие неустановившегося потока РЖ, обусловленного осцилляцией ЗРЭ, в зависимости от геометрических параметров гидрораспределителя и перепада давления на его дросселирующей щели может изменять свой знак на противоположный. Это может привести к тому, что колебание ЗРЭ будет неустойчивым.

*Расчетные исследования.* При функционировании гидрораспределителя в ГП переходные процессы в нем возникают за счет изменения сигнала управления. После окончания переходных процессов скорость его ЗРЭ, без учета осцилляции,  $\dot{x}_{\text{зрэ}} = 0$ , а  $x_{\text{зрэ}}$  принимает значение  $x_{\text{зрэ}0}$ , при котором силы, которые действуют на него уравновешены и на его выходе устанавливается перепад

давления  $\Delta p_{\text{щ}0}$ . Величина  $\Delta p_{\text{щ}0}$  в установившемся режиме соответствует нагрузке на гидродвигателе, который трансформируется расходом  $q_{\text{наг}}(t)$ . Для получения единственного решения приняты следующие начальные условия:  $x_{\text{зр}}(0) = 0$ ,  $\dot{x}_{\text{зр}}(0) = 0$ ,  $x_{\text{осци}}(0) = x_{\text{осци}}$  и  $\omega_{\text{осци}}(0) = \omega_{\text{осци}}$ . Перепад давления  $\Delta p_{\text{щ}0} = 7,0$  МПа, а пульсации давления  $\Delta p_{\text{щ}}(t)$  формируются согласно полусинусоидальному закону с частотой  $f = 200$  Гц и амплитудой 0,3 МПа. Задавали траекторию изменения  $x_{\text{зр}}(t)$ , при принятых начальных условиях, получаем графики изменения гидродинамической силы. В качестве желаемой траектории  $x_{\text{зр}}(t)$  (на основании опыта в машиностроении) принята экспонента с постоянной времени  $T$ .

С помощью пакета прикладных программ Mathcad проведено имитационное моделирование гидродинамической силы на ЗРЭ гидрораспределителя при следующих данных: размеры гидрораспределителя –  $b_{\text{ок}} = 1,1$  мм;  $\Delta l = 13,2$  мм;  $x_{\text{зр max}} = 1,0$  мм;  $\theta_n = 69^0$ ;  $\mu_{c\text{ га}} = 0,7$ ; параметры рабочей жидкости –  $\rho_p = 900$  кг/м<sup>3</sup>;  $E_p = 1,35 \cdot 10^3$  МПа;  $v_t = 28$  мм<sup>2</sup>/с; газосодержание 3,0%; максимальное значение расхода через гидрораспределитель –  $q_{\text{max}} = 301,6$  см<sup>3</sup>/с.

Для оценки близости гидродинамической силы при переходных процессах и в установившемся режиме на ЗРЭ гидрораспределителя с осцилляцией и без нее использовалась относительная интегральная оценка

$$J_{F_{\text{гд}}} = \frac{\int_0^{t_p} |F_{\text{гд}0}(t) - F_{\text{гд}}(t)| dt}{\int_0^{t_p} F_{\text{гд}0}(t) dt} \cdot 100\%, \quad (10)$$

где  $F_{\text{гд}}(t)$  и  $F_{\text{гд}0}(t)$  – соответственно гидродинамические силы на ЗРЭ гидрораспределителя с осцилляцией и без нее;  $t_p$  – время переходного процесса.

Оценка (10) характеризует отношение значений разных площадей под кривыми  $F_{\text{гд}0}(t)$  и  $F_{\text{гд}}(t)$  к площади под кривой  $F_{\text{гд}0}(t)$  за время переходного процесса  $t_p$ . Анализ литературных источников позволил установить, что  $t_p$  для гидрораспределителей с осцилляцией находится в пределах от 0,01 с до 1,5 с. При задании траектории изменения  $x_{\text{зр}}(t)$  и параметров осцилляции ЗРЭ получены графики изменения во времени гидродинамической силы, некоторые из которых показаны на рис. 2. Рассчитанные относительные

интегральные оценки показаны в табл. 1, где через черту приведены значения при переходном процессе и в установившемся режиме.

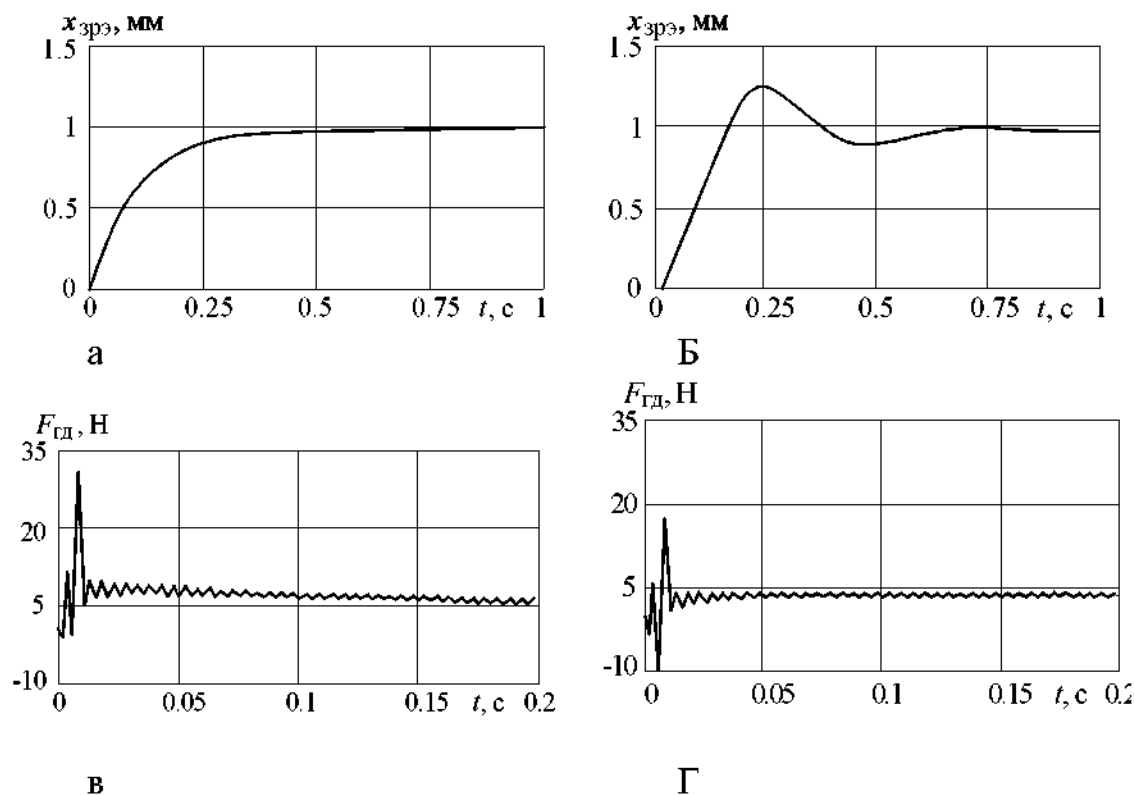


Рис. 2. Графики изменения во времени при  $x_{\text{осц}} = 0,05$  мм;  $\omega_{\text{осц}} = 200$  1/с:  
а, б –  $x_{\text{зрэ}}(t)$ ; в, г – гидродинамической силы; а, в – по экспоненте;  
б, г – колебательное

Таблица 1  
Результаты расчета относительной интегральной оценки  
гидродинамической силы

Параметры осцилляции		Перемещение ЗРЭ			
		По экспоненте			Колебательное
$x_{\text{осц}}$ , мм	$\omega_{\text{осц}}$ , 1/с	$t_p = 0,4$ с	$t_p = 0,65$ с	$t_p = 1,0$ с	$t_p = 1,0$ с
0,01	200	2,511/ 0,321	2,528/ 0,353	2,916/ 0,385	2,611/ 0,363
0,03	200	7,714/ 1,038	7,56/ 1,05	8,774/ 1,119	7,876/ 1,073
0,05	200	12,651/ 1,754	12,752/ 1,75	14,62/ 1,855	13,041/ 1,788
0,05	300	12,393/ 1,832	13,165/ 1,834	15,031/ 1,92	13,492/ 1,872
0,05	400	12,929/ 1,835	13,313/ 1,842	15,151/ 1,935	13,63/ 1,879

Проведенные расчетные исследования позволили установить следующее:

- наличие в РЖ до 5 % нерастворенного воздуха практически не влияет на величину гидродинамической силы, погрешность расчетов не превышает 1% и ее плотность можно принимать постоянной и равной среднему значению;

- наибольшее отличие в значениях гидродинамической силы,

рассчитанной с учетом осцилляции и без нее, наблюдается при переходном процессе ЗРЭ, в независимости от его характера. При этом ее значения существенным образом зависят от амплитуды осцилляции, увеличиваясь с увеличением последней;

- погрешность от пренебрежения параметрами осцилляции ЗРЭ при расчете гидродинамической силы в установившемся режиме не превысит 2 %;

- время регулирования гидродинамической силы при переходном процессе на порядок меньше времени регулирования перемещения ЗРЭ.

Полученные численные значения гидродинамической силы в установившемся режиме совпадают с данными, приведенными в работе [8], что подтверждает достоверность полученных результатов.

*Выводы.* Разработан метод расчета гидродинамической силы на осциллирующем ЗРЭ гидрораспределителя, который в отличие от известных учитывает изменяющиеся параметры РЖ, нестационарные гидродинамические процессы, параметры осцилляции, что повышает точность расчета. Уточнена физическая модель гидродинамической силы. Впервые установлено влияние характера переходного процесса и параметров осцилляции ЗРЭ гидрораспределителя на величину гидродинамической силы.

### Литература

1. Максунова Е.В. Влияние геометрических размеров проточной части золотника на величину осевой гидродинамической силы / Е.В. Максунова, Н.С. Смольникова // Прочностные и гидравлические характеристики машин и конструкций. – 1975. – №167. – С. 96 – 99.
2. Хаймович Е.М. Экспериментальное определение осевой гидродинамической силы на золотниках работающих в режиме постоянного расхода / Е.М. Хаймович, В.В. Чкалов // Гидропривод и гидропневмоавтоматика. – 1970. – Вып. 6. – С. 5 – 9.
3. Lugowski J. Pohogzenie sily hydrodynamicznej w hydraulicznym zaworze suwakowym / J. Lugowski // Napendy i sterowanie hydralicne'93: konferencja naukowo-techniczna. 1993 р. – Wroclaw, 1993. – S. 49 – 53.
4. Блекборн Дж.Ф. Гидравлические и пневматические силовые системы управления / Дж.Ф. Блекборн, Г. Ритхоф, Дж.Л. Шерер. Под ред. Дж.Ф. Блекборна; пер. с англ. // М.: Иностр. лит., 1962. – 614 с.
5. Захаров Ю.Е. Определение коэффициента расхода и гидродинамической силы на золотниках гидравлических

- сервомеханизмов / Ю.Е. Захаров, В.Н. Баранов, И.Я. Шамло // Станки и инструменты. – 1962. – № 3. – С. 16 – 21.
6. Попов Д.Н. Динамика и регулирование гидро- и пневмосистем: [учебник для вузов] / Д.Н. Попов // М.: Машиностроение, 1987. – 464 с.
7. Данилов Ю.А. Аппаратура объемных гидроприводов: Рабочие процессы и характеристики / Ю.А. Данилов, Ю.Л. Кирилловский, Ю.Г. Колпаков // М.: Машиностроение, 1990. – 272 с.
8. Объемные гидравлические приводы / Т.М. Бацита, И.З. Зайченко, В.В. Ермаков и др.; Под ред. Т.М. Бацты. // М.: Машиностроение, 1968. – 628 с.
9. Снижение содержания воздуха и воды в рабочих жидкостях гидравлических систем: Обзор / В.А. Рокшевский, В.В. Татьков, Г.Ф. Ливада и др. // М.: НИИмаш, 1981. – 58 с.
10. Андренко П.М. Визначення кута нахилу вектора швидкості потоку, для розрахунку гідродинамічної сили на запорно-регулюючого елементу гідроапарата / П.М. Андренко // Східно-Європейський журнал передових технологій. – 2005. – № 4/2(16). – С. 60 – 63.

**ВПЛИВ ПАРАМЕТРІВ ОСЦИЛЯЦІЇ  
ЗАПІРНО-РЕГУЛЮЮЧОГО ЕЛЕМЕНТУ  
ГІДРОРОЗПОДІЛЬНИКА НА ВЕЛИЧИНУ ГІДРОДИНАМІЧНОЇ  
СИЛИ**

Лур'є З.Я., Андренко П.М.

**Анотація – робота присвячена дослідженню впливу параметрів осциляції та характеру перехідного процесу запірно-регулюючого елементу гідророзподільника на величину гідродинамічної сили.**

**INFLUENCE OF PARAMETERS OF OSCILLATION OF  
PLUG-FORMING-REGULATIVE ELEMENT OF  
HYDRODISTRIBUTOR ON SIZE OF HYDRODYNAMIC FORCE**

Z. Lurie, P. Andrenko

*Summary*

**Work is devoted research of influence of parameters of oscillation and character of transient of plug-forming-regulative element of hydrodistributor on the size of hydrodynamic force.**